

文章编号:1671-6833(2016)05-0023-04

盆景状 ZnO 的制备及气敏性能研究

张永辉, 刘春彦, 刘焕桢, 巩飞龙, 李峰

(郑州轻工业学院, 河南省表界面科学重点实验室, 河南 郑州 450001)

摘要: 通过水热法首次制备出盆景状三维材料,XRD 和热分析测试结果表明制备的材料由碱式碳酸锌($Zn_4CO_3(OH)_6 \cdot H_2O$)和ZnO组成,产物经过高温煅烧后得到结晶性良好且侧面和底部孔状结构的ZnO材料。利用FESEM对材料的形貌进行了系统的表征,发现盆景状ZnO由纳米片自组装对称生长而成,且每一层生长都会得到规则的六边形结构。将材料制备成气敏元件并研究其气敏性能。结果表明,构筑的气敏元件在340℃时对乙醇气体具有最高的灵敏度,同时具有良好的响应-恢复特性和稳定性。该材料可以应用于改善基于乙醇传感器的设计与制作。

关键词: ZnO; 盆景状; 水热法; 纳米片; 气体传感器

中图分类号: O614.24⁺¹; O611.62 文献标志码: A doi:10.13705/j.issn.1671-6833.2016.05.005

0 引言

ZnO是一种位于Ⅱ-VI族最重要的N型金属氧化物半导体材料($E_g = 3.4\text{ eV}$),在光催化^[1]、太阳能电池^[2]、水处理^[3]和发光二极管^[4]等方面有着广泛的应用。除此之外,作为重要的气敏材料,ZnO被用于有毒气体如H₂S^[5]、CO^[6]、丙酮^[7]、NO₂^[8]和乙醇^[9]的检测。研究表明,材料的气敏性能很大程度上取决于材料的形貌和表面状态,三维ZnO材料因具有较大的比表面积、较大空隙率和结构相对稳定等特点成为人们的研究重点^[10]。樊慧庆^[11]等利用水热法制备出了由纳米片自组装成而成的三维结构ZnO前驱物,经过高温退火,得到了具有多孔结构的多层次三维ZnO材料,最后分别研究了由ZnO纳米粒子和ZnO三维材料制作气敏元件的性能。结果表明,具有三维和多孔结构的ZnO材料更利于气体的吸附和交换,因此对各种有害气体都展现出了较强的灵敏度,且对丙酮具有最好的选择性。张海娇^[12]等同样利用水热法制备了具有花状结构的多孔三维ZnO

材料,气敏性能测试表明,三维多孔花状ZnO材料因具有较大的比表面积和丰富的活性位点,对正丁醇展现出了极其优越的选择性。同样也有研究小组制备了纳米花形片状氧化锌微球^[13]和多级结构氧化锌^[14]及其在光催化领域的应用。

利用简单的水热合成反应,本课题组已经成功制备出多种三维金属氧化物材料,包括六圆环碟状ZnO材料^[15]、暴露高能面的三维ZnO双球^[16]和三维海胆状Co₃O₄^[17]双球,在此研究基础上,本研究采用水热法首次大量制备了三维盆景状ZnO材料,对材料的结构和形貌进行了表征,并将产物制成旁热式气敏元件,深入研究了材料的气敏性能,结果表明制备的气体传感器具有良好3S性质,即较高的灵敏度,优异的选择性和稳定性。

1 实验部分

1.1 实验仪器与试剂

采用德国Bruck D8型X射线衍射仪对样品进行结构分析;高解析热场发射扫描电子显微镜JSM-7001F和高分辨透射电子显微镜JEM-

收稿日期:2016-02-09;修订日期:2016-07-01

基金项目:国家自然科学基金资助项目(21371157,21301158);河南省重点科技攻关资助项目(132102210424);河南省科技创新人才计划项目(豫科人组2015-4号);骨干教师项目(2012XGGJS04,2014GGJS-081)和郑州轻工业学院校内基金(2014XJJ001)

作者简介:张永辉(1981—),男,河南郑州人,郑州轻工业学院副教授,博士,主要从事功能纳米材料研究,E-mail:zyh0114@126.com.

2100 对材料进行形貌观察和分析。采用郑州炜盛电子科技有限公司出产的 WS - 30A 对制备的元件进行气敏测试分析。

试验中所用到的乙酸锌、尿素、无水乙醇均来自天津风船化学试剂科技有限公司,聚乙烯吡咯烷酮(PVP)来自天津市科密欧化学试剂有限公司,所有试剂为分析纯级别,未进一步纯化。

1.2 材料的制备

分别称取 1 mmol 乙酸锌和尿素于 50 mL 烧杯中,加入 40 mL 乙醇和水的混合溶液(体积比为 3:1),搅拌 5 min 使其完全溶解,然后加入 0.200 0 g 聚乙烯吡咯烷酮(PVP)搅拌 30 min,待溶液形成均一稳定的混合液后转移至 40 mL 的聚四氟乙烯反应釜中,180 °C 反应 6 h. 待反应釜自然冷却至室温,分别用去离子水和无水乙醇洗涤 5 次,置于恒温干燥箱内 60 °C 干燥 12 h,最后得到白色固体粉末。

1.3 气敏元件的制备及气敏性能测试

制备旁热式气敏元件,具体步骤为:首先取适量的 ZnO 粉末在玛瑙研钵中充分研磨 10 min,随后加入少量的松油醇,继续研磨至浆料呈均匀的糊状. 将该浆料均匀涂覆到乙醇清洗过的 Al₂O₃ 陶瓷管上,将陶瓷管置于烘箱中 60 °C 干燥 30 min,待陶瓷管表面样品凝固后转移至马弗炉内 600 °C 段烧 1 h,以除去有机粘合剂. 将气敏元件焊接并置于老化台上,300 °C 老化 7 d,采用静态配气法在 WS - 30A 气敏元件测试系统中进行气敏性能测试,测试气体包括丙酮、甲醇、苯、氯苯、甲苯、乙醇、乙腈等. 定义灵敏度为电阻在空气和待测气体中电阻的相对值 $S = Ra/Rg$ 表示,其中 Ra 表示气敏元件在空气中的电阻值, Rg 表示气敏元件在待测气体中的电阻值.

2 结果与讨论

2.1 材料表征

图 1 中(a)和(b)分别是样片退火前和退火后的 XRD 图谱. 图 1(a)与标准图谱对照可知:退火前大部分尖锐的都是 ZnO(JCPDS Card, NO. 36-1451) 的标准峰,除此之外在 2θ 角 13. 04°、28. 12°、31. 15°、32. 85°、33. 49° 等位置存在较弱的衍射峰,对照标准卡片证明这些峰为碱式碳酸锌 Zn₄CO₃(OH)₆ · H₂O (JCPDS Card, NO. 11 -

0287) 的衍射峰,这表明制备的材料为 ZnO 和 Zn₄CO₃(OH)₆ · H₂O 的混合物,图 1(b) 为样品 400 °C 退火 2 h 后的 XRD 图谱,所有的衍射峰都与标准的 ZnO(JCPDS Card, NO. 36 - 1451) 相吻合,并且衍射图谱中没有出现其他杂质的衍射峰且峰形尖锐,说明产物具有较高的纯度和结晶度.

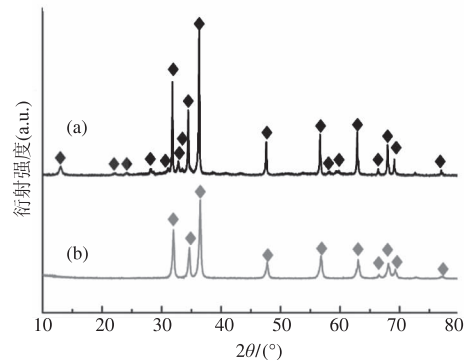


图 1 退火前(a)和退火后(b)样品的 XRD 图

Fig. 1 XRD patterns of precursor before (a) and after annealing (b)

为了进一步研究材料的组成,对材料进行了热分析表征. 图 2 为材料在 N₂ 气氛下测试的 TG/DTA 曲线. 从 TG 图中可以看到,从开始升温到质量到达稳定,损失的总质量只有 3.34%. 质量损失大致分为两个阶段,第一阶段是材料表面自由水的去除,质量损失约为 0.12%; 第二阶段为 Zn₄CO₃(OH)₆ · H₂O 的分解过程,质量损失约为 3.22%. 碱式碳酸锌的分解过程理论损失质量为 26.36% (Eq. 1),TG 测试结果实际损失为 3.22%,由此可以确定材料中碱式碳酸锌含量占 12.21%, ZnO 含量占 87.79%. DTA 测试结果可以看出没有明显的放热峰,也可以说明前驱物中发生分解

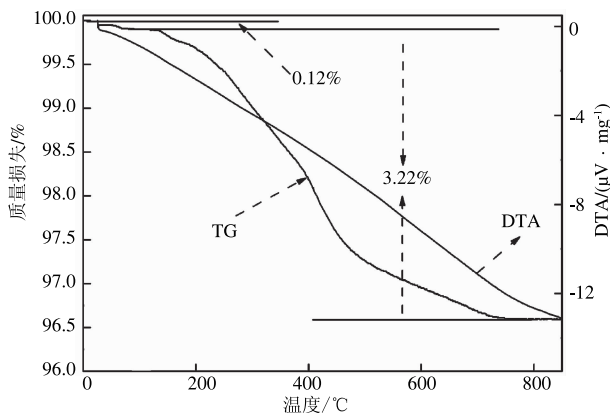


图 2 样品的热分析曲线图

Fig. 2 TG/DTA curves of the precursor

的质量较少,大部分产物是ZnO材料.

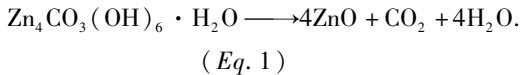


图3为盆景状ZnO材料退火前后的FESEM照片,插图为样品退火前后高倍率的俯视图片;盆景状ZnO退火前(b)和退火后(e)侧视图;盆景状ZnO退火前(c)和退火后(f)底部图片.从图3(a)可以看出,大量的盆景状材料已被成功制备,插图3(b)为材料放大后的俯视图,从中可以看到材料由纳米片对称自组装生长十几代而成,在正中心部位形成一个孔洞,每一代自组装的结果都呈现六边形结构.图3(b)和3(c)为材料的侧视图和俯视图,可以清晰的看出:退火前,材料侧面是光滑且具有棱边的结构,底面为规则的六边形光滑结构.退火后,材料的基本面貌没有发生变化(图3(d)),但在材料的侧面和底部都出现了大量的孔状结构,这可能是由于 $\text{Zn}_4\text{CO}_3(\text{OH})_6 \cdot \text{H}_2\text{O}$ 受热分解造成的结果,最终形成表面有孔的ZnO材料.这种孔洞的表面可以提高材料的比表面积,加快气体的传递和吸附能力,从而提高材料的气敏性能.

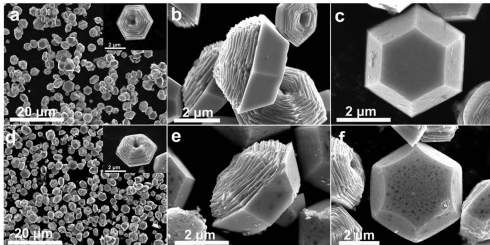


图3 盆景状ZnO退火前后的FESEM图片

Fig. 3 FESEM of bonsai-like ZnO before and after annealing

2.2 气敏性能分析

图4(a)为退火后三维盆景状ZnO材料制备的气敏元件在100 mg/L乙醇气体中的温度-灵敏度曲线.随着温度升高,气敏元件的灵敏度值先增大后迅速下降,在340 °C达到最大值11.575,表明气敏元件的最佳工作温度为340 °C.在最佳温度340 °C下,我们研究了元件对不同有害气体的选择性,包括甲醛、乙腈、苯、甲苯、氯苯、乙醇、丙酮、甲醇、氨水、CO,结果如图4(b)所示.气敏元件对乙醇具有最高的选择性,对其他几种气体的响应较低,说明由三维盆景状ZnO材料制备的气敏元件对乙醇气体具有最好的选择性,可以用作乙醇传感器的开发和应用.

最佳工作温度下,我们研究了元件在不同浓度乙醇气体的响应和恢复.结果表明,随乙醇气体浓度的增大,气敏元件的灵敏度也呈增大趋势,基本呈线性关系(插图4(c)),图4(c)为元件对5、10、50、100、200、500 mg/L乙醇气体的动力学响应-恢复曲线,灵敏度分别为4.7、6.7.5、11.6、15.3、29.8,从动力学曲线可以看出,元件对各个浓度乙醇气体的响应和恢复时间都比较短.图4(d)为气敏元件对100 mg/L乙醇气体的动力学响应-恢复曲线,在30 s时注入乙醇气体,120 s时除去乙醇气体,从图中可以看出,元件对100 mg/L乙醇气体的响应时间为20 s,恢复时间为12 s,器件对于乙醇气体具有较快的响应-恢复特性,因此该盆景状ZnO材料可用于快速地检测乙醇气体.

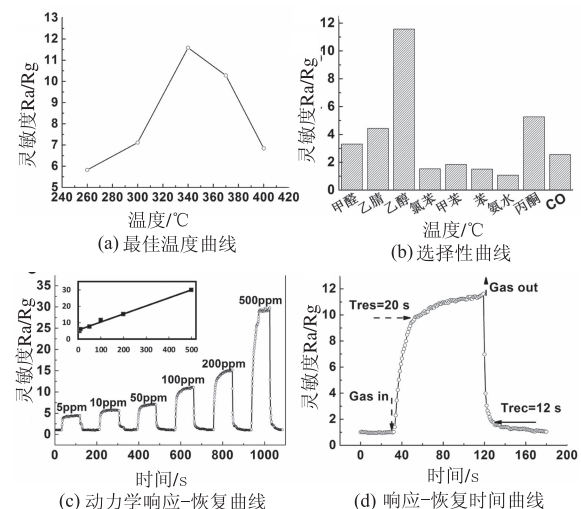


图4 盆景状ZnO气敏测试结果

Fig. 4 The gas sensing properties of bonsai-like ZnO

实际应用中,半导体材料器件的稳定性往往存在一定的缺陷,为了进一步检验材料的实际应用价值,我们对材料的稳定性进行了系统的研究.将制作的气敏元件置于老化台上300 °C老化,空气湿度为40%~45%,温度为20~25 °C,每隔7 d进行一次性能测试,模拟实际应用60 d,测试结果如图5.元件的气敏性能基本没有发生变化,表明制备的三维盆景状ZnO材料具有良好的稳定性,可以满足实际生活的应用,并应用于相关传感器的设计与开发.

3 结论

通过水热法和退火过程首次构筑了表面粗糙的三维盆景状ZnO材料.该材料由纳米片自组装

生长而成且底部为规则的六边形底座,退火后材料的表面会出现大量的孔状结构,且基本形貌没有发生变化,制备的气敏元件对乙醇气体具有较高的灵敏度、较快的响应-恢复特性和较强的稳定性。该材料可应用于乙醇传感器的设计与制作。

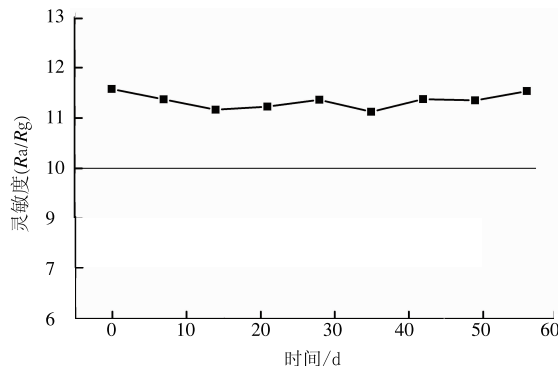


图5 气敏元件对100 mg/L乙醇气体的稳定性曲线

Fig.5 the stability of sensor in 100 mg/L ethanol

参考文献:

- [1] LI B X, LIU T X, WANG Y F, et al. ZnO/graphene-oxide nanocomposite with remarkably enhanced visible-light-driven photocatalytic performance [J]. *Journal of Colloid and Interface Science*, 2012, 377(1):114 – 121.
- [2] BRISENO A L, HOLCOMBE T W, BOUKAI A I, et al. Oligo and polythiophene/ZnO hybrid nanowire solar cells [J]. *Nano Letters*, 2010, 10 (1): 334 – 340.
- [3] TAN W K, RAZAK K A, LOCKMAN Z, et al. Optical properties of two-dimensional ZnO nanosheets formed by hot-water treatment of Zn foils [J]. *Solid State Communications*, 2013, 162:43 – 47.
- [4] VAROL S F, SAHIN D, KOMPITSAS M, et al. The impact of different ZnO growth methods on the electrical and optical properties of a n-ZnO/p-GaN:Mg/c-plane sapphire UV LED [J]. *Rsc Advances*, 2014, 4 (26): 13593 – 13600.
- [5] ZHANG Y, XIANG Q, XU J Q, et al. Self-assemblies of Pd nanoparticles on the surfaces of single crystal ZnO nanowires for chemical sensors with enhanced performances [J]. *Journal of Materials Chemistry*, 2009, 19 (27): 4701 – 4706.
- [6] KHOANG N D, HONG H S, TRUNG D D, et al. On-chip growth of wafer-scale planar-type ZnO nanorod sensors for effective detection of CO gas [J]. *Sensors and Actuators B Chemical*, 2013, 181:529 – 536.
- [7] XIAO Y H, LU L Z, ZHANG A Q, et al. Highly enhanced acetone sensing performances of porous and single crystalline ZnO nanosheets: high percentage of exposed (100) facets working together with surface modification with Pd nanoparticles [J]. *Acs Applied Materials & Interfaces*, 2012, 4 (8): 3797 – 3804.
- [8] CHEN M, WANG Z H, HAN D M, et al. High-sensitivity NO₂ gas sensors based on flower-like and tube-like ZnO nanomaterials [J]. *Sensors and Actuators B-Chemical*, 2011, 157 (2): 565 – 574.
- [9] 王真真,王文闯,田永涛,等.敏感层涂敷方法对ZnO基传感器酒敏性能的影响[J].郑州大学学报(工学版),2015,36(2):83 – 87.
- [10] ZHANG J, WANG S R, XU M J, et al. Hierarchically porous ZnO architectures for gas sensor application [J]. *Crystal Growth & Design*, 2009, 9 (8): 3532 – 3537.
- [11] LI J, FAN H Q, JIA X H. Multilayered ZnO nanosheets with 3D porous architectures: synthesis and gas sensing application [J]. *The Journal of Physical Chemistry C*, 2010, 114 (35): 14684 – 14691.
- [12] ZHANG H J, WU R F, CHEN Z W, et al. Self-assembly fabrication of 3D flower-like ZnO hierarchical nanostructures and their gas sensing properties [J]. *Cryst EngComm*, 2012, 14 (5): 1775 – 1782.
- [13] 田进军,薛艳,刘玉民.花形ZnO纳米片微球的制备及其光催化性能的研究[J].郑州大学学报(工学版),2013,34(6):55 – 58
- [14] 全微雷,张金敏,沈俊海,等.多级结构氧化锌的构筑、形貌调控及其光催化活性[J].无机化学学报,2015,31(8):1626 – 1636.
- [15] LI F, DING Y, GAO P X, et al. Single-crystal hexagonal disks and rings of ZnO: low-temperature, large-scale synthesis and growth mechanism [J]. *Angewandte Chemie-International Edition*, 2004, 43 (39): 5238 – 5242.
- [16] LI F, GONG F L, XIAO Y H, et al. ZnO twin-spheres exposed in + / - (001) facets: stepwise self-assembly growth and anisotropic blue emission [J]. *ACS Nano*, 2013, 7 (12): 10482 – 10491.
- [17] XIAO Y H, LIU S J, LI F, et al. 3D hierarchical Co₃O₄ twin-spheres with an urchin-like structure: large-scale synthesis, multistep-splitting growth, and electrochemical pseudocapacitors [J]. *Advanced Functional Materials*, 2012, 22 (19): 4052 – 4059.

(下转第32页)